



## رنگبری رنگزای بازیک بر روی الیاف پشم پوشش داده شده با نانو ذرات دی اکسید زیرکونیم با پرتودهی فرابنفش

آرش الماسیان<sup>۱</sup>، مازیار پروینزاده گشتی<sup>۲\*</sup>

۱- دانشجوی دکترا، گروه پژوهشی رنگ و محیط زیست، مؤسسه پژوهشی علوم و فناوری رنگ و پوشش، تهران، ایران، صندوق پستی: ۱۶۷۶۵-۶۵۴

۲- استادیار، گروه مهندسی نساجی، دانشکده فنی و مهندسی، دانشگاه آزاد اسلامی واحد شهری، تهران، ایران، صندوق پستی: ۱۸۱۵۵-۱۴۴

در دسترس به صورت الکترونیکی از: ۱۳۹۲/۳/۲۰ تاریخ دریافت: ۹۰/۶/۲۱ تاریخ پذیرش: ۹۱/۲/۳۱

چکیده

پژوهش حاضر به منظور تثبیت نانو ذرات دی اکسید زیرکونیم بر روی پشم با استفاده از اسید سیتریک به عنوان عامل اتصال دهنده عرضی و هیپوفسفیت سدیم به عنوان کاتالیزور با پرتودهی فرابنفش انجام شده است. تأثیر مقدار نانو ذرات بر روی عملکرد لیف پشم توسط طیف سنجی زیر قرمز تبدیل فوریه (FTIR)، میکروسکوپ الکترونی (SEM)، اسپکترومتر الکترونی تفرق پرتو X (EDX)، آزمون زاویه تماس قطره آب (WCA) و اسپکتروفوتومتر انعکاسی (RS) بررسی شده است. برهمکنش مابین نانو ذرات دی اکسید زیرکونیم، ماده تثبیت کننده و رادیکال های آزاد پشم توسط طیف FTIR/ ارزیابی شده است. نتایج نشان می دهد که پشم پوشش داده شده با نانو ذره قابلیت رنگبری رنگزای امیلین آبی با پرتودهی فرابنفش را دارد.

واژه های کلیدی: پشم، اسید سیتریک، طیف انعکاسی، رنگبری، نانو دی اکسید زیرکونیم.

## Discoloration of a Basic Dye on Wool Fibers Coated with Nano-ZrO<sub>2</sub> under UV Irradiation

A. Almasian<sup>1</sup>, M. Parvinzadeh Gashti<sup>\*2</sup>

<sup>1</sup> Department of Environmental Researches, Institute for Color Science and Technology, P.O. Box: 16765-654, Tehran, Iran

<sup>2</sup> Department of Textile, Islamic Azad University, Shahre Rey Branch, P.O.Box: 18155-144, Tehran, Iran

Received: 12-09-2011

Accepted: 20-05-2012

Available online: 10-06-2013

### Abstract

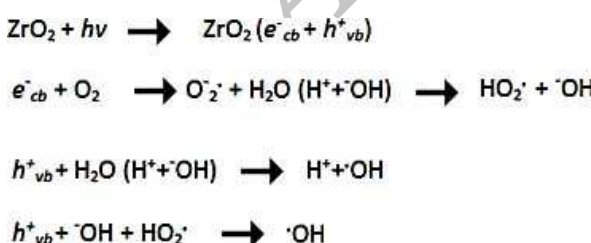
The present research carried out to stabilize nano-zirconium dioxide on a wool fabric using citric acid as a crosslinking agent and sodium hypophosphite as a catalyst under UV irradiation. The influence of the amount of nano-ZrO<sub>2</sub> on the performance of wool fiber was investigated using Fourier transform infrared spectrophotometer (FTIR), scanning electron microscope (SEM), energy dispersive X-ray microanalysis (EDX), water contact angle test (WCA) and reflectance spectrophotometer (RS). The possible interactions between nano-zirconia particles, cross-linking agent and wool free radicals were elucidated by the FTIR spectroscopy. Results indicated that the stabilized nano-zirconia is capable for discoloration of methylene blue on wool under UV irradiation. J. Color Sci. Tech. 7(2013), 1-13 © Institute for Color Science and Technology.

**Keywords:** Wool, Citric acid, Reflectance spectra, Discoloration, Nano-ZrO<sub>2</sub>.

بین ذرات معدنی و پشم وجود ندارد. مواد اتصال‌دهنده عاری از فرمالدئید حاوی اسیدهای کربوکسیلیک مانند ۱، ۲، ۳، ۴ اسید بوتان ترا کربوکسیلیک، اسید سیتریک، اسید سالسیلیک، اسید مالئیک، گلی اکسایل و گلوتارآلدهاید برای این هدف استفاده می‌شوند. این مواد می‌توانند پیوندهای مختلفی با زنجیرهای پپتید پشم توسط کاتالیزور فسفری در ساختار ماده اتصال‌دهنده تشکیل دهنند [۳۸-۳۱].

تاکنون تمام پژوهش‌ها برای ثبت نانو ذرات دی اکسید سیلیکا، نقره و تیتانیم روی سطح پشم به روش سل-ژل، لایه لایه و ماده اتصال‌دهنده عرضی شبکه‌ساز بوده است. با این حال، تاکنون هیچ تحقیقی روی ثبت نانو ذرات دی اکسید زیرکونیم روی پشم با استفاده از ماده شبکه‌ساز اسیدهای پلی‌کربوکسیلات انجام نشده است. با توجه به اشاره برخی از محققین به خاصیت کاتالیزوری نوری دی اکسید زیرکونیم و خواص منحصر‌بفرد این نانوذره و عدم ارائه تحقیقی در استفاده از این نانوذره جهت رنگبری بر روی پشم، لذا انجام این تحقیق ضروری به نظر می‌رسید.

برخی محققان اظهار داشتند که دی اکسید زیرکونیم می‌تواند به عنوان کاتالیزور نوری برای تجزیه  $\text{CO}_2$  و ترکیبات آلی مختلف استفاده شود. پرتودهی فرابنفش بر روی دی اکسید زیرکونیم می‌تواند سبب تهییج الکترون لایه والانس (پایدار) و انتقال آن به لایه بالاتر شود. الکترون‌های فعال ( $e^-$ ) و جفت حفره‌ها ( $h^+$ ) بعد از این مرحله تولید می‌شوند و بار منفی در تراز هدایت افزایش می‌یابد ( $e^-_{cb}$ ). علاوه بر این، الکترون‌های فعال با مولکول‌های  $\text{O}_2$  محلول، اکسید آنیون‌های رادیکالی تشکیل می‌دهند که سبب ایجاد رادیکال  $\text{HO}_2\cdot$  می‌شود. به عبارت دیگر، حفره‌های مثبت با مولکول‌های آب واکنش داده و  $\text{OH}^\cdot$  رادیکالی تولید می‌کنند. شکل ۱ سازوکار احیای نوری نانو دی اکسید زیرکونیم با پرتودهی فرابنفش را نشان می‌دهد که توسط محققان مختلف تایید شده است [۴۰، ۳۹].



شکل ۱: پدیده کاتالیزور نوری نانو دی اکسید زیرکونیم با پرتودهی فرابنفش [۳۹، ۴۰].

## ۱- مقدمه

اکسیدهای معدنی مواد سرامیکی می‌باشند که کاربردهای گوناگون از جمله استفاده در نانو کامپوزیت‌ها، مواد ساختمانی و سیمان، سرامیک و سفال، منسوجات و کاغذ، داروها، مواد جاذب سطحی، مبدل‌های یونی، جداکننده‌های رنگ، پلاستیک‌ها، مواد آرابشی و کاتالیزورها را دارند. مزایای این ترکیبات شامل در دسترس بودن، قیمت ارزان و خصوصیات ویژه آنها می‌باشند [۵-۱]. اکسید آلمینیم، دی اکسید سیلیسیم، اکسید روی، اکسید کروم III، اکسید کادمیم، اکسید آهن III، اکسید مس، دی اکسید منگنز، اکسید کلسیم و دی اکسید تیتانیم برای این اهداف استفاده شده‌اند اما یکی از تجاری‌ترین اکسیدهای معدنی دی اکسید زیرکونیم است که با سه ساختار مشابه شناخته می‌شود و از طریق رسوب‌دهی هیدروکسید زیرکونیم بعد از حرارت‌دهی جهت اکسیده شدن تهیه می‌شود. نوع منوکلینیک آن در دماهای کمتر از ۱۰۰۰ درجه سانتی‌گراد پایدار است، با این حال نوع‌های چهاروجهی و مکعبی آن به ترتیب در دماهای بالاتر از ۱۲۰۰ و  $2285 \pm 15$  درجه سانتی‌گراد پایدار هستند [۶-۹].

دی اکسید زیرکونیم به‌طور گسترده در زمینه‌های مختلف از جمله سپرهای حرارتی، موتورهای جت و دیزل، مواد ساینده، لعاب‌های سرامیکی، حسگر اکسیژن، سلول سوتی، جاذب‌ها، سرامیک‌های الکترونی و ترمیم‌کننده‌های دندان به دلیل خصوصیات فیزیکی و شیمیایی منحصر بفرد شامل سختی، مقاومت در برابر سایش، ضربه، اسیدها و قلیاهای قوی و دمای ذوب بالا استفاده می‌شود [۱۲-۱۰]. امروزه، نانوذرات معدنی مورد استفاده در صنعت نساجی یک جایگزین مناسب برای مواد معمولی هستند و در نتیجه، می‌توانند یک فرصت جدید برای اصلاح چند منظوره الیاف را ایجاد کنند. برای این هدف، تحقیقات بسیاری برای پوشش‌دهی نانو ذرات روی پشم با استفاده از روش‌های مختلف انجام شده است از جمله پراکنده کردن اکسیدهای نانو [۱۳]، قرار گیری ذرات در سطح الیاف با روش پلیمریزاسیون [۱۴، ۱۵]، انجام عملیات مقدماتی الیاف تحت پرتودهی فرابنفش و پلاسمما به منظور افزایش پوشش نانو ذرات [۱۶، ۱۷] و استفاده از فرآیند سل-ژل [۲۱-۱۸]. برخی از محققان فعالیت کاتالیزوری نوری پشم پوشش داده شده با  $\text{TiO}_2$  را از طریق خودتمیزشوندگی رنگ‌های مختلف مطالعه کرده‌اند [۲۷-۲۳]. محققان دیگر پارچه‌پشمی فوق آبگردیز از طریق پوشش با سوسپانسیون سیلیکا بدون هیچ تاثیری روی رنگ و ساختار الیاف را تهیه کردند [۲۸]. پوشش‌دهی الیاف پشم با استفاده از کلرید نانو نقره پوشش با سوسپانسیون سیلیکا مرسوم پد-خشک کردن-پخت خصوصیات ضد باکتری، ضد بید و ضد الکتریسیته ساکن ایجاد می‌کند [۳۰، ۲۹]. رویکرد اخیر دیگر، کاربرد مواد اتصال‌دهنده عرضی و شبکه‌ساز به منظور ثبت نانو ذرات دی اکسید تیتانیم روی لیف پشم است، به این دلیل که هیچ تمایلی

## ۲-۲- روش کار

پارچه‌های پشمی با ۰.۵٪ شوینده غیریونی شسته شدند. G:L (نسبت محلول به کالا) در حمام شستشو ۱:۴۰ به مدت ۱۵ دقیقه در ۵۰ درجه سانتی‌گراد انجام شد. تثبیت ذرات روی پشم توسط چهار مرحله انجام شد. ابتدا دیسپرس‌های کلئوپیدی مختلف با مقادیر ۰.۹٪ و ۰.۶٪ وزنی نانو دی‌اکسید زیرکونیم، CTAB<sup>۱</sup> و آب دیونیزه آمده شد، نسبت نانو دی‌اکسید زیرکونیم به CTAB ۱:۲، ۱:۲ ثابت نگهداشته شد. دیسپرس‌های کلئوپیدی به منظور کاهش ابعاد ذره در یک دستگاه فرآصوت در ۵۰ درجه سانتی‌گراد برای ۲ ساعت قرار داده شدند. سپس، ۰.۸٪ وزنی CA با ۰.۵٪ وزنی SHP به دیسپرس‌های مختلف نانو دی‌اکسید زیرکونیم در دستگاه فرآصوت در ۴۰ درجه سانتی‌گراد برای ۲۰ دقیقه اضافه شد و پارچه‌های پشمی در محلول‌های آمده شده با میزان برداشت ۸۵٪ پد شدند. پارچه‌های عمل شده در ۶۰ درجه سانتی‌گراد برای ۴ دقیقه خشک شدند و ایجاد اتصال عرضی ذرات و تثبیت پارچه‌ها توسط پرتودهی فرابنفش با لامپ ( $\lambda_{\text{max}} = ۲۵۰$  نانومتر) Keosan Germicidal UV-C ۱۵ وات و ۰.۳ آمپر ساخت شرکت Enterprise در دمای محیط برای ۳۰ دقیقه انجام شد. سپس منسوجات پرتودهی شده با مقدار زیادی آب دیونیزه سه مرتبه آبکشی شدند تا نانو دی‌اکسید زیرکونیم، CA و SHP تثبیت نشده از کالا زدوده شود. در نهایت پارچه‌ها به طور کامل در ۴۰ درجه سانتی‌گراد در شرایط خلاء خشک شدند.

1- Cetyltrimethylammonium bromide

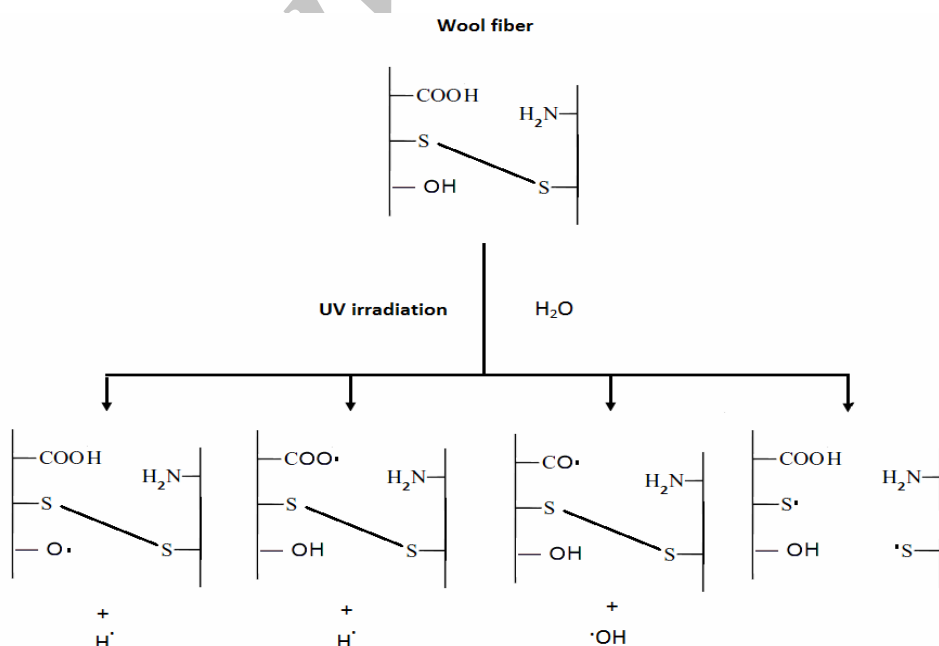
از سوی دیگر، پرتودهی فرابنفش پشم موجب از هم گسیختن گروه‌های عاملی اصلی آن از جمله کربوکسیل، هیدروکسیل و سیستین شده و همچنین ممکن است در تشکیل رادیکال‌های آلکیل آلکوکسی و آلکیل پروکسی در پشم تاثیر بگذارد. این تخریب فتوشیمیابی سبب زردی و تغییرات خصوصیات مکانیکی لیف می‌شود [۴۱-۴۵]. شکل ۲ رادیکال‌های آزاد تولید شده در پشم توسط پرتو فرابنفش را نشان می‌دهد.

مطالعه حاضر برای بررسی خصوصیات فیزیکی و شیمیابی مختلف لیف پشم پوشش داده شده با نانوکامپوزیت اسید کربوکسیلیک / دی‌اکسید زیرکونیم می‌باشد.

## ۲- بخش تجربی

### ۲-۱- مواد

پارچه پشمی کشبافت از شرکت یزدباف مورد استفاده قرار گرفته است. شوینده غیر یونی توسط SDL Technologies برای شستشوی پارچه پشمی استفاده شده است. پودر نانو دی‌اکسید زیرکونیم منوکلنیک توسط شرکت آلمانی PlasmaChem GmbH با ابعاد متوسط ۵-۲۵ نانومتر و سطح مخصوص  $۱۳۰ \pm ۲۰$  متر مربع بر گرم استفاده شده است. اسید سیتریک (CA)، هیپوفسفیت سدیم (SHP)، سنتیل تری متیل آمونیوم برمید (CTAB) و متیلن آبی (MB) از شرکت مرك آلمان تهیه شده است.



شکل ۲: رادیکال‌های آزاد تولید شده در پشم پس از پرتودهی فرابنفش [۴۱-۴۵].

در  $2919\text{ cm}^{-1}$ ,  $1232\text{,}835$  و  $1072\text{ cm}^{-1}$  ظاهر شده است. باندهای ضعیف دیگر در  $3759\text{ cm}^{-1}$  و  $3682\text{ cm}^{-1}$  به ارتعاشات کششی O-H در الكل های اولیه و ثانویه آزاد نسبت داده می شود [۴۶].

شکل ۳b نشان می دهد که بعد از پرتودهی فرابینفسن پشم عمل شده با اسیدسیتریک، شدت باندهای  $1634\text{ cm}^{-1}$ ,  $3850\text{ cm}^{-1}$  و  $3673\text{ cm}^{-1}$  افزایش یافته و باند جدید در  $3206\text{ cm}^{-1}$  ظاهر شده است. این تغییرات به دلیل فعل و انفعال بین رادیکال های اسیدسیتریک به عنوان عامل تشییت کننده از یک سو و رادیکال های آزاد پشم از سوی دیگر بوده که سبب ایجاد پیوندهای استری و اتری می شود. تغییرات دیگر در باند  $2347\text{ cm}^{-1}$  و افزایش شدت باندها در  $1235\text{ cm}^{-1}$  و  $2920\text{ cm}^{-1}$  در پشم تشییت شده به دلیل فرآیند تشكیل پیوند های آمیدی می باشد [۴۷و ۴۶].

محققان دیگر نشان داده اند که رادیکال های OH تولید شده از احیای نوری نانو دی اکسید زیرکونیم قادر به تخریب اسید سیتریک می باشد. آنها اظهار داشته اند که اسیدهای حاوی چند گروه کربوکسیلیک مانند اسید سیتریک می توانند بر روی سطوح خارجی دی اکسید زیرکونیم و در اکسید تیتانیم جذب شوند (شکل ۴) [۴۸-۵۰]. این نتیجه همچنین توسط محققین دیگر از روش احیای نوری اسید سوکسینیک در حضور نانو  $\text{TiO}_2$  تحت پرتودهی فرابینفس حاصل شده است [۵۱]. همان طور که در شکل ۳c مشاهده شده است، بعد از قرار گیری نانو دی اکسید زیرکونیم و اسید سیتریک در سطح پشم، باندهایی در  $3566\text{ cm}^{-1}$  و  $3376\text{ cm}^{-1}$  در مقایسه با پشم تشییت شده با اسید سیتریک ظاهر شده است. ظهر این باندها می تواند به دلیل تولید  $\text{H}_2\text{O}$  به عنوان محصول واکنش مابین اسید سیتریک و رادیکال های آزاد پشم باشد. افزایش در شدت باند در  $1634\text{ cm}^{-1}$  و انتقال باند از  $1079\text{ cm}^{-1}$  به  $1056\text{ cm}^{-1}$  می تواند به دلیل احیای نوری اسید سیتریک و تولید گروه های آلدئید از اسیدهای کربوکسیلیک در حضور نانو دی اکسید زیرکونیم در محیط آبی باشد. با توجه به نتایج آزمون طیفسنجی FTIR، دو سازوکار می تواند در فرآیند تشییت پشم با اسید سیتریک در حضور نانو دی اکسید زیرکونیم بیان شود: ابتدا، رادیکال های آزاد حاصله از اسید سیتریک می تواند به طور مستقیم با رادیکال های آزاد پشم پیوند داده که پیوندهای اتری و استری را ایجاد می کنند. به علاوه، اسید سیتریک پس از تابش پرتو فرابینفس گروه های آلدئید را ایجاد می کند که می تواند با گروه های آمین، کربوکسیلیک و هیدروکسیل پشم با استفاده از کاتالیزور حاوی فسفر پس از فرآیند آزادسازی هیدروژن واکنش دهند (شکل ۵a و ۵b) [۳۷].

افزایش در شدت باندها در  $746\text{ cm}^{-1}$  و  $668\text{ cm}^{-1}$  نیز پوشش دهی سطح پشم با ذرات نانو دی اکسید زیرکونیم را تایید می کند. با توجه به pH اسیدی حمام عملیات، کاتیون های  $\text{Zr}^{4+}$  تشكیل می شوند که آنیون های آزاد کربوکسیلات در اسید سیتریک متصل به پشم تمایل زیادی نسبت به این کاتیون های زیرکونیم دارند. این فرآیند منجر به

تغییرات گروه های شیمیایی پارچه ها توسط طیفسنجی FTIR [Bomem-MB100 Series (Hartmann and Broun)] مورد بررسی قرار گرفت.

تغییرات سطح الیاف با استفاده از میکروسکوپ الکترونی SEM (XL30,Philips) بررسی شدند. سطح نمونه ها ابتدا با یک لایه نازک طلا ( $10\text{ نانومتر}$ ) توسط روش Vapor Deposition (SCDOOS, BAL-TEC) پوشش دهنده (EDX) متصل به میکروسکوپ تعیین شد. اندازه گیری زاویه نماس قطره آب بر روی پارچه ها در دمای اتاق با استفاده از دستگاه Kruss G10 در دمای  $23\pm 2$  درجه سانتی گراد و رطوبت نسبی  $65\%$  انجام شد.

جهت بررسی خواص رنگبری،  $5\text{ میلی لیتر}$  از محلول  $5\%$  متیلن آبی، بر روی نمونه پشمی قرار داده شد و پارچه ها تحت لامپ فرابینفس در دمای محیط در زمان های  $40$  و  $80$  ساعت پرتودهی شدند. فاصله بین پارچه و لامپ  $40$  سانتی متر بود. خصوصیات رنگبری پارچه با استفاده از یک اسپکتروفوتومتر Gretagmacbeth COLOREYE متصل به یک رایانه بررسی شد. مختصات رنگی ( $L^*$ ,  $a^*$ ,  $b^*$ ,  $C^*$ ,  $h^*$ ) و اختلاف رنگ ( $\Delta E$ ) نمونه ها تحت زاویه  $10$  درجه و منبع نوری  $D_{65}$  محاسبه شده (رابطه ۱) و منحنی های انعکاس ( $R_{\lambda\infty}(\lambda)$  نیز به مقادیر  $(K/S)_\lambda$  تبدیل شدند (رابطه ۲).

$$\Delta E = [(Δa^*)^2 + (Δb^*)^2 + (ΔL^*)^2]^{1/2} \quad (1)$$

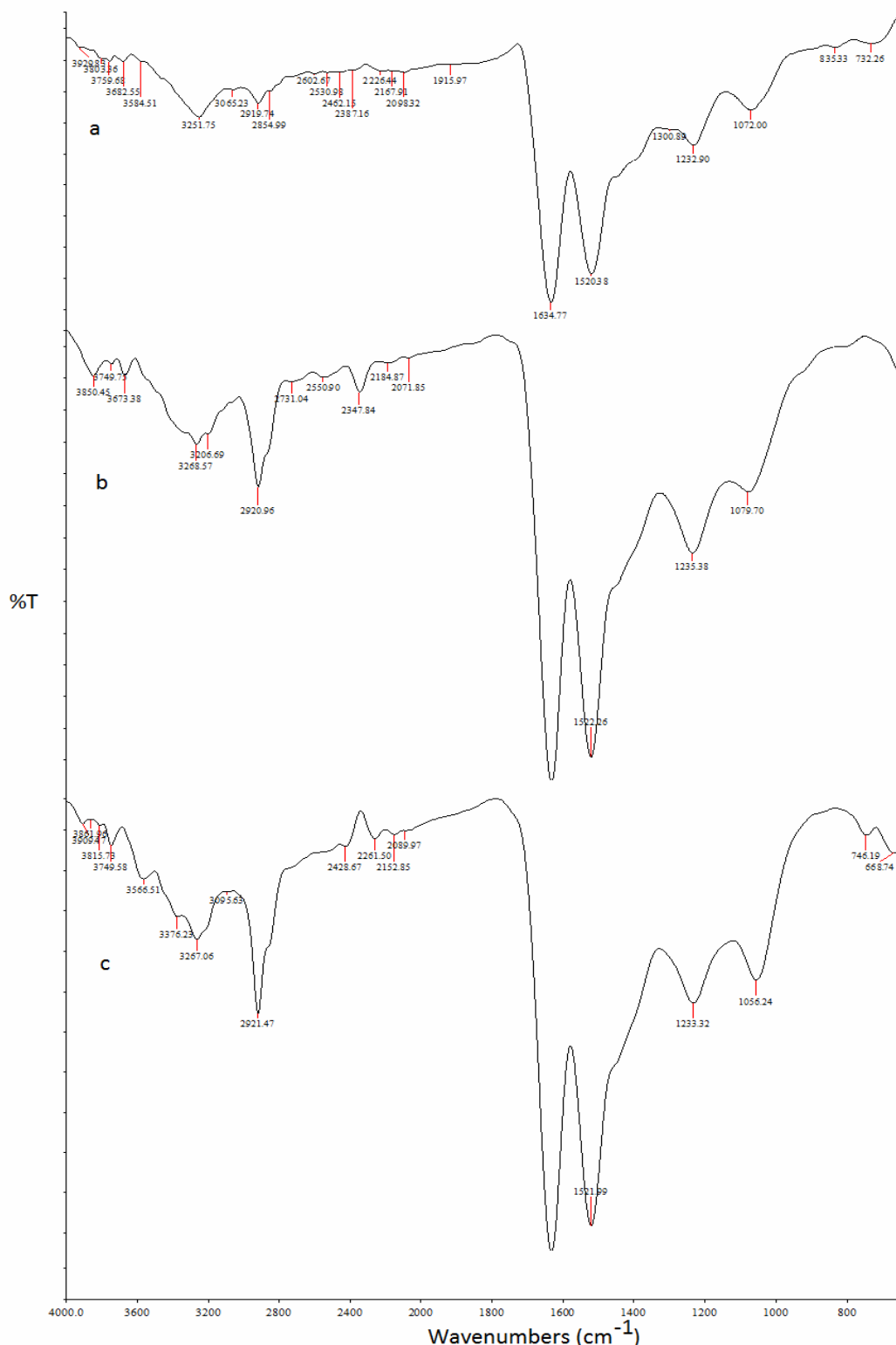
$$(K/S)_\lambda = (1 - R_{\lambda\infty})^2 / 2R_{\lambda\infty} \quad (2)$$

### ۳- نتایج و بحث

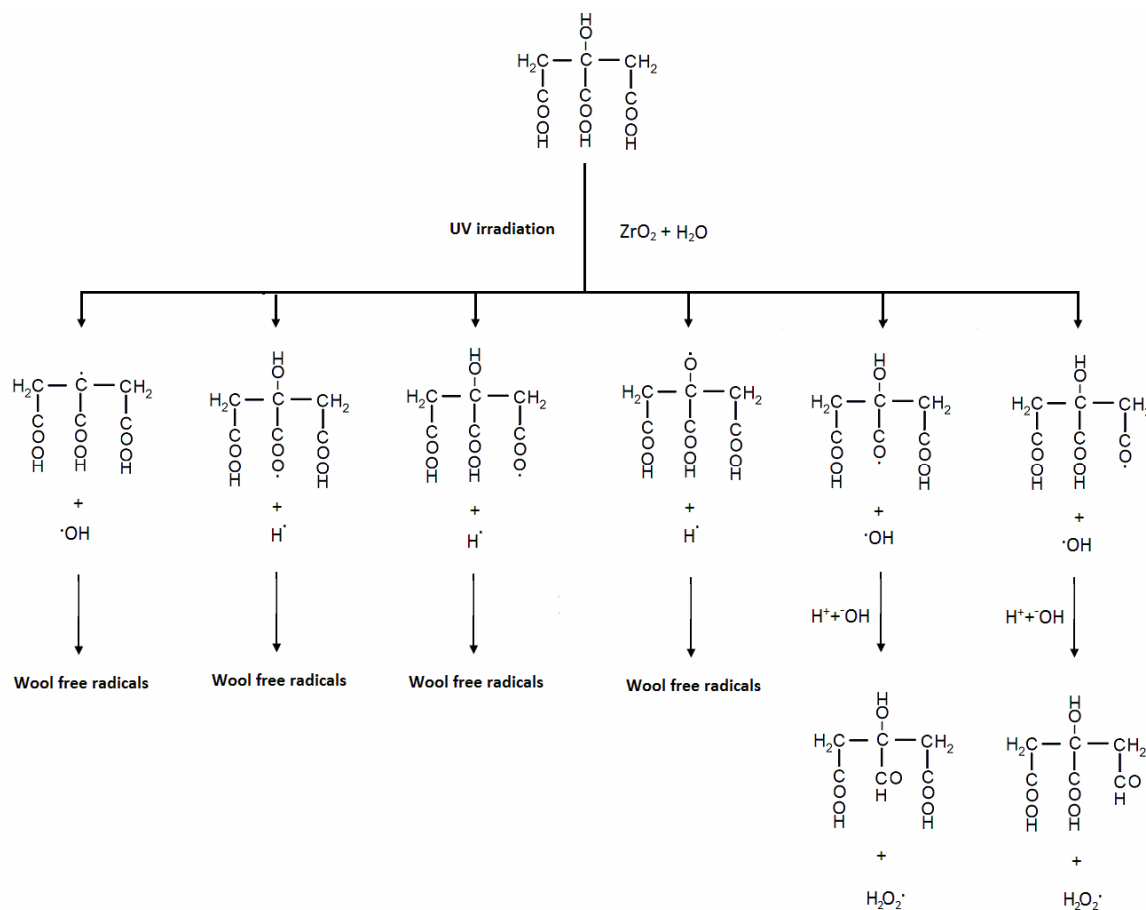
**۳-۱- بررسی ساختار الیاف توسط طیفسنجی زیر قرمز**  
طیف زیر قرمز پشم عمل نشده، پشم تشییت شده با اسید سیتریک و نمونه پوشش داده شده با کامپوزیت نانو دی اکسید زیرکونیم / اسیدسیتریک در شکل ۳ نشان داده شده است. ارتعاشات کششی و خمشی N-H در پشم معمولا در نواحی  $3100\text{-}3500\text{ cm}^{-1}$  و  $1640\text{-}1550\text{ cm}^{-1}$  ظاهر می شود، که به نوع آمید (اولیه و ثانویه)، محیط شیمیایی (جامد و مایع) و پیوندهای هیدروژن داخل یا بین مولکولی وابسته است. باند کششی C=O در ناحیه مابین  $1630\text{ cm}^{-1}$  و  $1670\text{ cm}^{-1}$  ظاهر شده است که معمولا از هم پوشانی باند N-H نتیجه می شود. شکل ۳a باند کششی N-H آمید ثانویه پشم در  $3251\text{ cm}^{-1}$  را نشان می دهد. باند در  $1634\text{ cm}^{-1}$  ارتعاش کششی N-H را نشان می دهد که با باند C=O هم پوشانی نموده است. ارتعاشات کششی ضعیف باندهای S-O-S و C-O-C,  $\text{CH}_2$ , C-H (منوکسید سیستین) در پشم به ترتیب

بیگز و همکارانش نشان دادند که دیاکسید زیرکونیم به دلیل سطح تماس زیاد تمايل زیادی به جذب گروههای سیترات در اسید سیتریک دارد [۵۴].

فعل و انفعال یونی شده که در شکل ۵a نشان داده شده است. همچنین این فرآیند توسط محققین دیگر جهت ثبت دیاکسید زیرکونیم بر روی الیاف پشم و پنبه تایید شده است [۵۲، ۵۳]. به علاوه



شکل ۳: طیف زیر قرمز پشم خام، ثبت شده با اسیدسیتریک و پوشش داده با کامپوزیت نانودیاکسید زیرکونیم/اسیدسیتریک.



شکل ۴: محصولات احیای نوری اسیدسیتریک در حضور نانو دی اکسید زیرکونیم.

پشم تثبیت شده با اسید سیتریک و همچنین نمونه های پوشش داده شده با نانو دی اکسید زیرکونیم توسط تحلیل گر تفرق پرتو X بررسی شده است. در این نتایج، پیک های طلاق به وضوح دیده می شوند. آنالیز تفرق پرتو X از الیاف پشم تثبیت شده، پوشش دهی موثر سطح پشم و تثبیت نانو دی اکسید زیرکونیم بر روی آن را نشان می دهد.

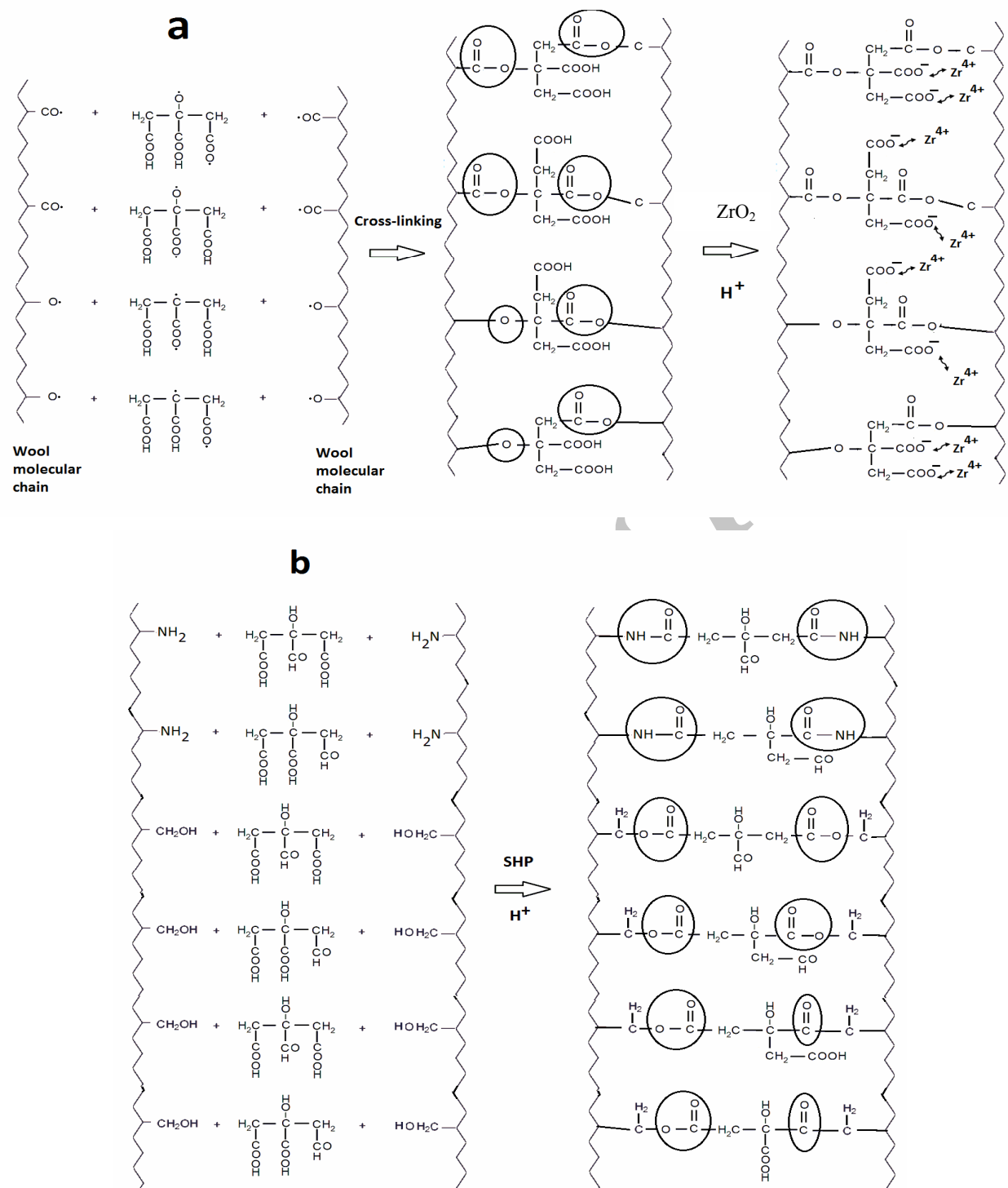
عوامل متعددی بر تجمع نانو ذرات در سطح منسوجات موثر است از جمله ابعاد ذرات، ویژگی های گروه انتهاهای آنها، ترکیب نسبی و ساختار مولکولی آنها. در آزمون زیر قمز نمونه های پوشش داده شده ذکر شد که عملیات تثبیت پشم با دی اکسید زیرکونیم توسط رادیکال های آزاد اسیدسیتریک انجام می شود. به نظر می رسد که این برهم کنش ها سبب قرار گیری نانو ذرات دی اکسید زیرکونیم روی سطح پشم شده اند و با افزایش غلظت نانوذرات، میزان بیشتری از آنها بر روی سطح پشم قرار گرفته اند. محققین دیگر این پدیده را در نانو ذرات به کار رفته در پوشش های چند لایه آلی تایید کردند [۵۶].

### ۲-۳- خصوصیات میکروسکوپی

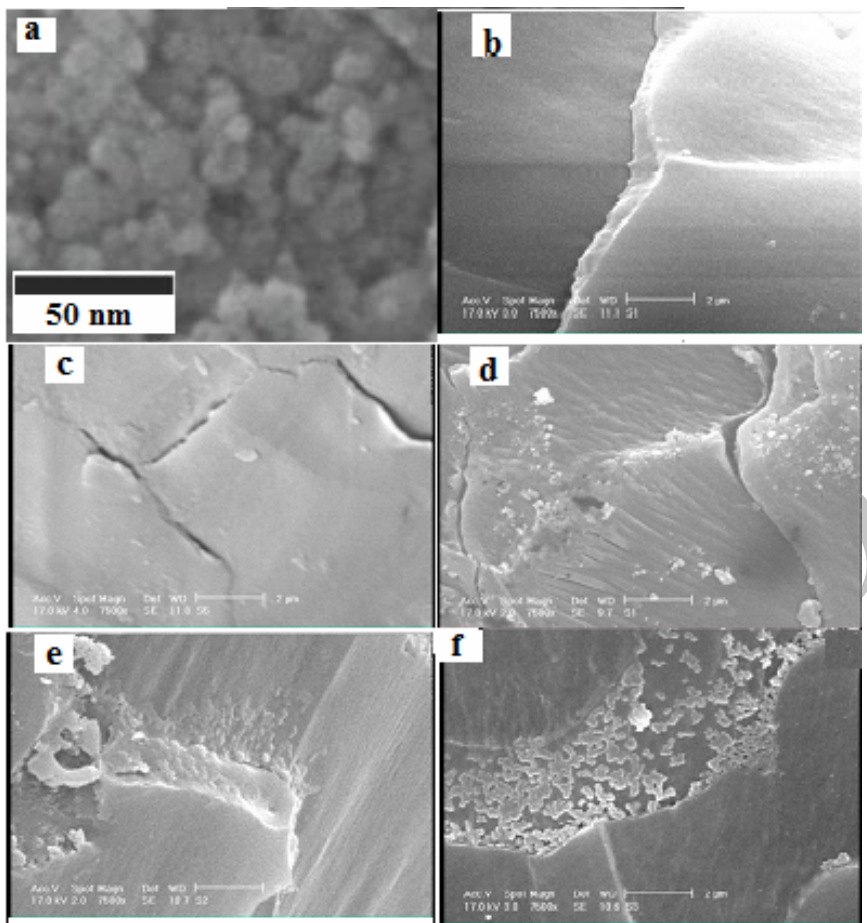
تصاویر میکروسکوپ الکترونی نانو دی اکسید زیرکونیم، لیف پشم عمل نشده و نمونه های تثبیت شده با اسید سیتریک حاوی غلظت های مختلف نانو دی اکسید زیرکونیم در شکل ۶ نشان داده شده است.

الیاف خام پشم عاری از ماده تثبیت کننده و نانو ذرات دی اکسید زیرکونیم بوده و فلس ها به راحتی قابل رویت می باشند. پس از عملیات پشم با اسید سیتریک قطر فلس ها کاهش یافته که نشان دهنده پوشش دهی و تثبیت سطح پشم می باشد. تصاویر میکروسکوپ الکترونی از الیاف پشم تثبیت شده با اسید سیتریک و نانو دی اکسید زیرکونیم، تجمع مواد معدنی نانو دی اکسید زیرکونیم روی سطح پشم را نشان می دهد. بدیهی است که افزایش غلظت دی اکسید زیرکونیم در سطح پشم تجمع ذرات روی سطح لیف را افزایش داده است. این افزایش تجمع ذرات نیز در پوشش دهی پنبه و پشم با دی اکسید تیتانیم توسط تثبیت کننده مشاهده شده است [۵۳، ۵۵].

در شکل ۷، حضور عناصر شیمیایی روی سطح لیف عمل نشده،



شکل ۵: واکنش‌های امکان‌پذیر در اثر ثبیت پشم با اسید سیتریک و نانو دی‌اکسید زیرکونیم با پرتودهی فرابنفش.



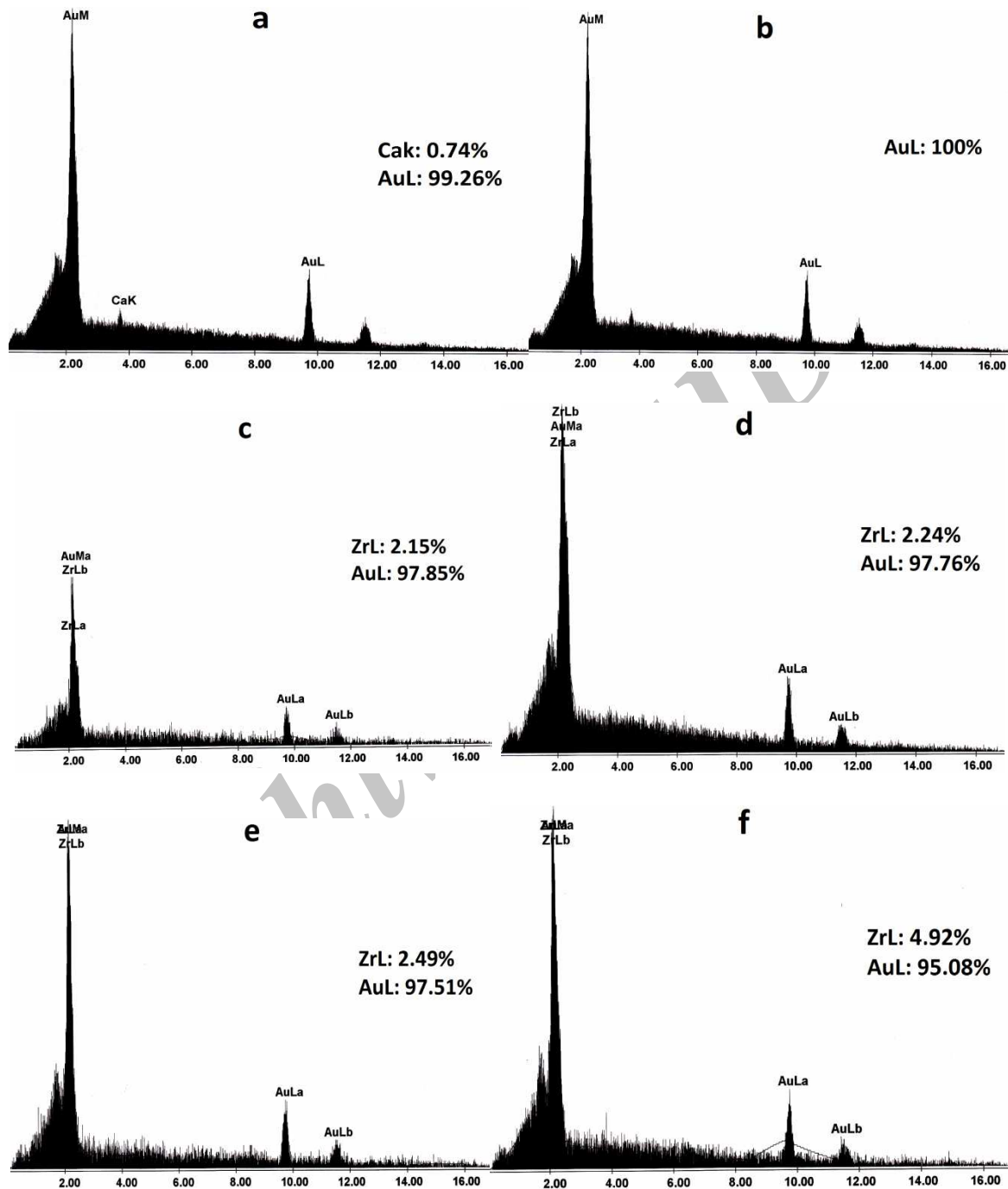
شکل ۶: تصاویر میکروسکوپ الکترونی (a) نانودایکسید زیرکونیم، (b) پشم خام، پشم تثبیت شده با اسید سیتریک و ۳٪ نانو دایکسید زیرکونیم با پرتودهی فرابنفش، (c) پشم تثبیت شده با اسید سیتریک و ۶٪ نانو دایکسید زیرکونیم با پرتودهی فرابنفش، (d) پشم تثبیت شده با اسید سیتریک و ۹٪ نانو دایکسید زیرکونیم با پرتودهی فرابنفش (بزرگنمایی تصاویر الیاف ۲  $\mu\text{m}$  بشد).

کاتیون‌های  $\text{Zr}^{4+}$  می‌شوند. همچنین مشاهده می‌شود که اسید کربوکسیلیک مانند اسید سیتریک قطبی بوده و توانایی جذب مولکول‌های آب را از طریق ایجاد پیوندهای هیدروژنی را دارد. افزایش جذب مولکول‌های آب توسط منتظر و همکارانش در پشم تثبیت شده با دایکسید تیتانیم و اسید کربوکسیلیک به اثبات رسید [۵۲]. در نتیجه زاویه تماس قطرات آب بر روی منسوج پوشش داده شده با اسید سیتریک و نانو دایکسید زیرکونیم در مقایسه با منسوج عمل نشده کاهش یافت.

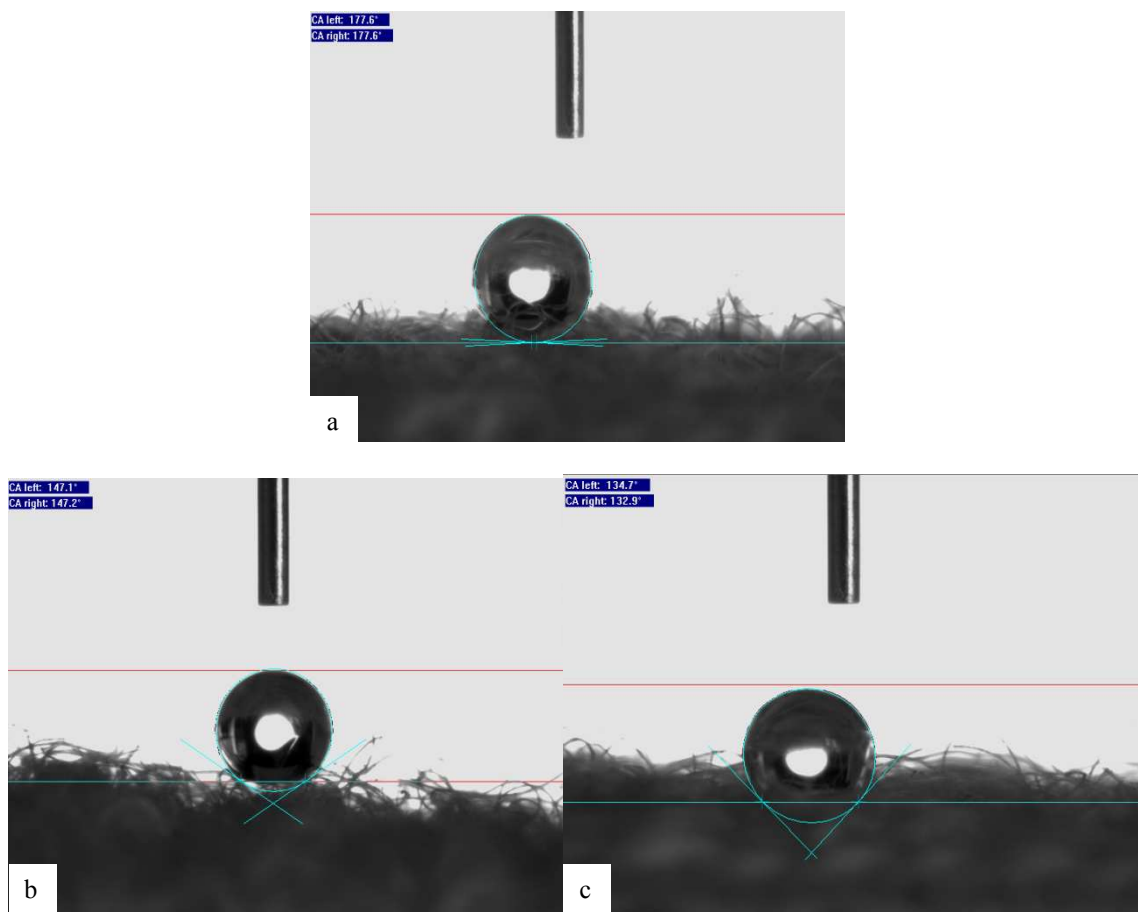
**۴-۳- خصوصیت رنگبری در نمونه‌های پشمی**  
جدول ۱ و شکل‌های ۹ و ۱۰ مختصات رنگی، منحنی‌های (K/S) و تصاویر پارچه پشمی پوشش داده شده با نانو کامپوزیت اسید سیتریک ۹٪ دایکسید زیرکونیم را نشان می‌دهد که توسط متیلن آبی لکه‌گذاری شد. این نمونه‌ها بعد از ۴۰ و ۸۰ ساعت تحت پرتو فرابنفش قرار گرفتند.

**۴-۳- اندازه‌گیری زاویه تماس آب**  
آب در این مطالعه به عنوان مایع جهت اندازه‌گیری زاویه تماس بر روی منسوج به کار رفت. شکل ۸ زاویه‌های قطرات آب قرار گرفته بر روی پارچه‌های پشمی عمل نشده و تثبیت شده با اسید سیتریک در مقایسه با نمونه عمل شده با ۹٪ نانو دایکسید زیرکونیم و اسید سیتریک را نشان می‌دهد. جذب و دفع آب از پشم با تعداد و نوع گروه‌های عاملی در زنجیره‌ای پروتئینی در ارتباط است [۵۷].

از طرف دیگر، میزان آبدوستی نانوذرات به سطح مخصوص آنها، میانگین اندازه ذرات و نحوه قرارگیری ذرات در تجمع‌ها بستگی دارد [۱۲]. در این مطالعه، خصوصیات آبدوستی پشم تثبیت شده با اسید سیتریک و نمونه‌های حاوی اسید سیتریک و نانو دایکسید زیرکونیم بعد از پرتودهی فرابنفش بررسی شده است. همان طور که قبل اذکر شد، گروه‌های کربوکسیلیک آزاد در اسید سیتریک می‌توانند آنیون‌های کربوکسیلات را در آب ایجاد کنند که به دلیل فعل و انفعالات یونی در سطح مشترک دایکسید زیرکونیم و آب سبب جذب



شکل ۷: تصاویر تفرق پرتو x: (a) پشم خام، (b) پشم تثبیت شده با اسید سیتریک و ۰.۱٪ نانو دی اکسید زیرکونیم با پرتودهی فرابینفش، (c) پشم تثبیت شده با اسید سیتریک و ۰.۳٪ نانو دی اکسید زیرکونیم با پرتودهی فرابینفش، (d) پشم تثبیت شده با اسید سیتریک و ۰.۶٪ نانو دی اکسید زیرکونیم با پرتودهی فرابینفش، (e) پشم تثبیت شده با اسید سیتریک و ۰.۹٪ نانو دی اکسید زیرکونیم با پرتودهی فرابینفش.



شکل ۸: تصاویر قطرات آب روی پارچه پشمی (a) پشم خام، (b) پشم تثبیت شده با اسیدسیتریک با پرتودهی فرابنفش، (c) پشم تثبیت شده با اسید سیتریک و٪۹ نانو دیاکسید زیرکونیم با پرتودهی فرابنفش.

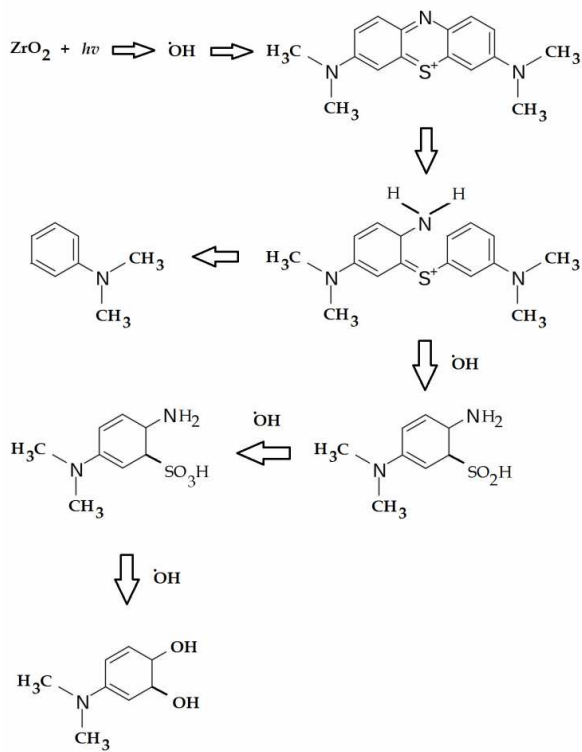
جدول ۱: مختصات رنگی نمونه‌های پشمی لکه‌گذاری شده پس از تثبیت نانوکامپوزیت اسید سیتریک٪۹ دی اکسید زیرکونیم قبل و بعد از پرتودهی فرابنفش در زمان‌های ۴۰ و ۸۰ ساعت.

<b>نمونه لکه‌گذاری شده با متیلن آبی</b>	<b>ΔE</b>	<b>h°</b>	<b>C*</b>	<b>b*</b>	<b>a*</b>	<b>L*</b>
قبل از پرتودهی فرابنفش	-	۲۴۹,۷۹	۲۹,۰۹	-۲۷,۳۰	-۱۰,۰۵	۳۷,۱۴
بعد از ۴۰ ساعت پرتودهی فرابنفش	۲۹,۹۳	۱۹۰,۲۵	۶,۸۹	-۱,۲۳	-۶,۷۸	۵۱,۴۷
بعد از ۸۰ ساعت پرتودهی فرابنفش	۳۷,۹۲	۱۳۴,۶۸	۶,۸۰	۴,۸۳	-۴,۷۸	۵۶,۵۶

خلوص بیشتر الیاف باشد. ته رنگ با استفاده از مؤلفه  $h^{\circ}$  تعریف می‌شود. تفاوت‌ها در مختصات رنگی نمونه‌ها قبل و بعد از پرتودهی فرابنفش توسط  $\Delta E$  بیان می‌شود [۵۷]. همان‌طور که در جدول ۱ می‌توان مشاهده کرد، در نمونه‌های پشمی پوشش داده شده با نانوکامپوزیت اسیدسیتریک٪۹ دی اکسید زیرکونیم، مقادیر  $L^*$  افزایش یافت و  $C^*$  کمتری را بعد از پرتودهی فرابنفش نشان داد. هر دو نمونه لکه‌گذاری شده با رنگزای متیلن آبی

مقادیر رنگی در فضای رنگی CIELAB مورد بررسی قرار گرفته است که دارای سه محور با مؤلفه‌های  $L^*$ ,  $a^*$ ,  $b^*$  می‌باشند. مؤلفه  $L^*$  بیان کننده روشنایی نمونه‌ها است و می‌تواند مستقل از تهرنگ اندازه‌گیری شود. هرگونه کاهش در روشنایی نمونه‌ها می‌تواند به عنوان انعکاس کمتر پارچه‌ها باشد. مؤلفه  $a^*$  شامل محور افقی قرمز-سبز است و مؤلفه  $b^*$  محور عمودی زرد-آبی را نشان می‌دهد.  $C^*$  بیانگر خلوص نمونه‌ها است. هرگونه افزایش در  $C^*$  نمونه‌ها می‌تواند به عنوان

شكل ۱۱ سازوکار کاتالیزور نوری متیلن آبی را توسط دی اکسید زیرکونیم تحت پرتوودهی فرابینفس نشان می‌دهد. در مرحله اولیه، گروههای عاملی  $C-S^+=C$  در رنگرا به گروههای سولفوكسید تجزیه می‌شوند که در مرحله دوم توسط یک رادیکال  $OH$ ، گروههای سولفون تولید نموده و موجب گستنگی دو حلقه بنزنی می‌شود. یک رادیکال دیگر  $OH$ ، گروه سولفون را به اسید سولفوریک تبدیل می‌کند که نهایتاً یون های  $SO_4^{2-}$  را از ترکیب نهایی آزاد می‌کند. این نتیجه توسط محققان دیگر در تجزیه رنگزاهای متیلن قرمز و متیلن آبی توسط دی اکسید زیرکونیم باشد. الکترون‌های آزاد و حفره‌های حاصله توسط تهییج الکترونی زیرکونیم، رادیکال‌های  $OH$  را تولید می‌کنند که قادر به تجزیه لکه‌های رنگزا می‌باشد [۶۰-۶۱].

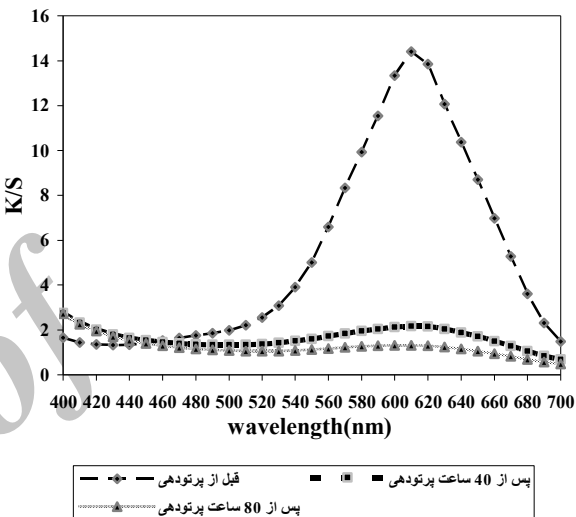


شكل ۱۱: فرآیند امکان‌پذیر جهت تخریب کاتالیزور نوری متیلن آبی توسط دی اکسید زیرکونیم تحت پرتوودهی فرابینفس.

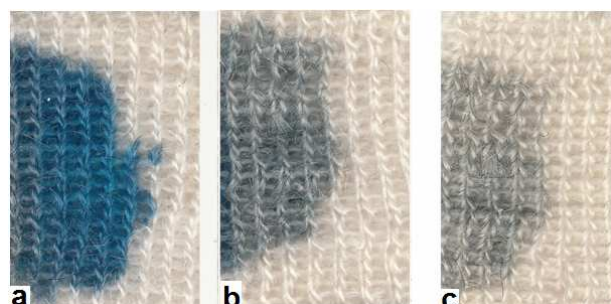
#### ۴- نتیجه‌گیری

نانو دی اکسید زیرکونیم و اسید سیتریک به منظور ایجاد پوشش رنگبر بر روی پشم به کار رفتند. نانوکامپوزیت دی اکسید زیرکونیم - اسید سیتریک توسط واکنش بین اسید سیتریک و رادیکال‌های آزاد پشم ثبیت شد و این واکنش در نتیجه نیروهای یونی مابین کاتیون‌های  $Zr^{4+}$  و آنیون‌های کربوکسیلات در اسید سیتریک می‌باشد. طیف زیر قرمز نمونه‌ها نشان داد که گروههای کربوکسیل در اسید سیتریک

کاهش زیادی را در میزان قرمزی بعد از پرتوودهی پرتو فرابینفس نشان دادند. به علاوه میزان فام آبی لکه پس از پرتوودهی نمونه به مدت ۴۰ ساعت کاهش یافت و به سمت فام زرد تمایل یافت. نتایج به دست آمده از شکل ۹ نشان داد که مقادیر K/S برای نمونه‌های پرتووده شده با پرتو فرابینفس در مقایسه با نمونه پرتووده نشده کمتر بوده که می‌تواند به دلیل تجزیه لکه رنگزا و فعالیت کاتالیزور نوری ذرات نانو دی اکسید زیرکونیم باشد. الکترون‌های آزاد و حفره‌های حاصله توسط تهییج الکترونی زیرکونیم، رادیکال‌های  $OH$  را تولید می‌کنند که قادر به تجزیه لکه‌های رنگزا می‌باشد [۵۸-۶۰].



شكل ۹: منحنی‌های (K/S) نمونه‌های لکه‌گذاری شده با متیلن آبی پس از ثبیت با نانوکامپوزیت اسید سیتریک / ۹٪ دی اکسید زیرکونیم قبل و بعد از ۴۰ و ۸۰ ساعت پرتوودهی فرابینفس.



شكل ۱۰: نمونه‌های لکه‌گذاری شده با متیلن آبی، (a) نمونه ثبیت شده با نانوکامپوزیت اسید سیتریک / ۹٪ دی اکسید زیرکونیم پیش از پرتوودهی فرابینفس، (b) نمونه ثبیت شده با نانوکامپوزیت اسید سیتریک / ۹٪ دی اکسید زیرکونیم بعد از ۴۰ ساعت پرتوودهی فرابینفس، (c) نمونه ثبیت شده با نانوکامپوزیت اسید سیتریک / ۹٪ دی اکسید زیرکونیم بعد از ۸۰ ساعت پرتوودهی فرابینفس.

مقایسه با منسوج عمل نشده کاهاش یافت به علاوه این پوشش توانایی تخریب رنگرای بازیک متیلن آبی پس از تابش پرتو فرابینفش به دلیل تولید OH رادیکالی در زنجیرهای پروتئینی را دارد.

می‌توانند پیوندهای استری و اتری با آمین یا هیدروکسیل گروههای انتهایی پشم ایجاد کنند. زاویه تماس قطره آب در منسوج پشمی پوشش داده شده با نانو ذرات دی‌اکسید زیرکونیم و اسید سیتریک در

## ۵- مراجع

- M. M. Jalili, S. Moradian, Deterministic performance parameters for an automotive polyurethane clearcoat loaded with hydrophilic or hydrophobic nano-silica. *Prog. Org. Coat.* 66(2009), 359–366.
- M. Mashlan, H. Bartonkova, D. Jancik, J. Tucek, P. Martinec, Iron oxide modified minerals. *J. Phys. Chem.* 191(2009), 151–157.
- L. Chmielarz, P. Kuśtrowski, Z. Piwowarska, M. Michalik, B. Dudek, R. Dziembaj, Natural micas intercalated with  $\text{Al}_2\text{O}_3$  and modified with transition metals as catalysts of the selective oxidation of ammonia to nitrogen. *Top. Catal.* 52(2009), 1017–1022.
- G. Xianji, H. Wenhua, Y. Qijie, C. Yi, Pillared layered transition metal oxides. *Chinese Sci. Bull.* 48(2003), 101–110.
- M. Parvinzadeh, S. Moradian, A. Rashidi, M. E. Yazdanshenas, Surface characterization of polyethylene terephthalate/silica nanocomposites. *Appl. Surf. Sci.* 256(2010), 2792–2802.
- V. Singh, V. Sapehiyia, V. Srivastava, S. Kaur,  $\text{ZrO}_2$ -pillared clay: An efficient catalyst for solventless synthesis of biologically active multifunctional dihydro-pyrimidinones. *Catal. Commun.* 7(2006), 571–578.
- A. Srivastava, M. K. Dongare, Low-temperature preparation of tetragonal zirconia. *Mater. Lett.* 5(1981), 111–115.
- S. Y. Chen, L. Y. Jang, S. Cheng, Synthesis of thermally stable zirconia-based mesoporous materials via a facile post-treatment. *J. Phys. Chem. B.* 110(2006), 11761–11771.
- H. Sahu, G. RAO, Characterization of combustion synthesized zirconia powder by UV-vis, IR and other techniques. *Bull. Mater. Sci.* 23(2000), 349–354.
- Y. S. Hsu, Y. L. Wang, A. N. Ko, Effect of sulfation of zirconia on catalytic performance in the dehydration of aliphatic alcohols. *J. Chin. Chem. Soc.* 56(2009), 314–322.
- L. Q. Zhu, Q. Fang, G. He, M. Liu, L. D. Zhang, Microstructure and optical properties of ultra-thin zirconia films prepared by nitrogen-assisted reactive magnetron sputtering. *Nanotechnology* 16(2005), 2865–2869.
- M. Xanthos, Functional fillers for plastics, Wiley, Weinheim, Germany. 2005, 115–156.
- H. Y. Ki, J. H. Kim, S. C. Kwon, S. H. Jeong, A study on multifunctional wool textiles treated with nano-sized silver, *J. Mater. Sci.* 42(2007), 8020–8024.
- M. Niu, X. Liu, J. Dai, H. Jia, L. Wei, B. Xu, The structure of wool fibers grafted with chitosan coated Ag-loading nano- $\text{SiO}_2$  antibacterial composites. *Fiber. Polym.* 11(2010), 1201–1203.
- S. Wang, W. Hou, L. Wei, H. Jia, X. Liu, B. Xu, Antibacterial activity of nano- $\text{SiO}_2$  antibacterial agent grafted on wool surface. *Surf. Coat. Tech.* 202(2007), 460–465.
- W. S. Tung, W. A. Daoud, Self-cleaning fibers via nanotechnology: A virtual reality. *J. Mater. Chem.* 21(2011), 7858–7869.
- W. A. Daoud, S. K. Leung, W. S. Tung, J. H. Xin, K. Cheuk, K. Qi, Self-Cleaning keratins. *Chem. Mater.* 20(2008), 1242–1244.
- W. S. Tung, W. A. Daoud, Effect of wettability and silicone surface modification on the self-cleaning functionalization of wool. *J. Appl. Polym. Sci.* 112(2009), 235–243.
- W. S. Tung, W. A. Daoud, Innovative self-cleaning and bactericide textiles. *Surface Eng.* 26(2010), 525–531.
- W. S. Tung, W. A. Daoud, Photocatalytic self-cleaning keratins: A feasibility study. *Acta Biomater.* 5(2009), 50–56.
- W. S. Tung, W. A. Daoud, Photocatalytic formulations for protein fibers: Experimental analysis of the effect of preparation on compatibility and photocatalytic activities. *Colloid Interface Sci.* 326(2008), 283–288.
- T. Yuranova, R. Mosteo, J. Bandara, D. Laub, J. Kiwi, Self-cleaning cotton textiles surfaces modified by photoactive  $\text{SiO}_2/\text{TiO}_2$  coating. *Mol. Catal. A: Chemical.* 244(2006), 160–167.
- A. Bozzi, T. Yuranova, J. Kiwi, Self-cleaning of wool-polyamide and polyester textiles by  $\text{TiO}_2$ -rutile modification under daylight irradiation at ambient temperature. *Photochem. Photobiol. A: Chemistry.* 172(2005), 27–34.
- Z. Wang, E. Han, W. Ke, Effect of acrylic polymer and nanocomposite with nano- $\text{SiO}_2$  on thermal degradation and fire resistance of APP–DPER–MEL coating. *Surf. Coat. Tech.* 200(2006), 5706–5716.
- H. F. Moafi, A. F. Shojaee, M. A. Zanjanchi, Photocatalytic self-cleaning of wool fibers coated with synthesized nano-sized titanium dioxide. *Academy Sym. Ser.* 80(2011), 591–602.
- H. F. Moafi, A. F. Shojaee, M. A. Zanjanchi, Photocatalytic self-cleaning of wool fibers coated with synthesized nano-sized titanium dioxide. *Appl. Surf. Sci.* 256(2010), 4310–4316.
- D. Chen, L. Tan, H. Liu, F. Tang, J. Hu, Y. Li, Fabrication of fast-absorbing and quick-drying wool fabrics with good washing durability. *Chem. Sus. Chem.* 3(2010), 1031–1035.
- D. Chen, L. Tan, H. Liu, J. Hu, Y. Li, F. Tang, Fabricating superhydrophilic wool fabrics. *Langmuir.* 26(2010), 4675–4679.
- B. Tang, J. Wang, S. Xu, T. Afrin, W. Xu, L. Sun, X. Wang, Application of anisotropic silver nanoparticles: Multi-functionalization of wool fabric. *Colloid Interf. Sci.* 356(2011), 513–518.
- X. Bingshe, N. Mei, W. Liqiao, H. Wensheng, L. Xuguang, The structural analysis of biomacromolecule wool fiber with Ag-loading  $\text{SiO}_2$  nano-antibacterial agent by UV radiation, *Photochem Photobiol A: Chemistry.* 188(2007), 98–105.
- M. Montazer, E. Pakdel, Reducing photoyellowing of wool using nano  $\text{TiO}_2$ . *Photochem. Photobiol.* 86(2010), 255–260.

32. R. Dastjerdi, M. Montazer, S. Shahsavani, A novel technique for producing durable multifunctional textiles using nanocomposite coating. *Colloids Surf B: Biointerf.* 81(2010), 32-41.
33. S. Seifollahzadeh, M. Montazer, Self-cleaning of Methylene Blue and Acid Blue 113 on Wool/Polyester Fabric Treated with Nano Titanium Oxide under UV Irradiation without Yellowing. *J. Color Sci. Technol.* 4(2010), 115-123.
34. M. Montazer, A. Behzadnia, E. Pakdel, M. K. Rahimi, M. B. Moghadam, Photo induced silver on nano titanium dioxide as an enhanced antimicrobial agent for wool. *J. Photochem. Photobiol. B: Biol.* 103(2011), 207-214.
35. M. Montazer, A. Behzadnia, E. Pakdel, Novel feature of nano-titanium dioxide on textiles: Antifelting and antibacterial wool. *J. Appl. Polym. Sci.* 121(2011), 3407-3413.
36. M. Montazer, E. Pakdel, Photo induced silver on nano titanium dioxide as an enhanced antimicrobial agent for wool. *J. Text. Ins.* 102(2011), 343-352.
37. M. Montazer, E. Pakdel, M. B. Moghadam, Nano titanium dioxide on wool keratin as UV absorber stabilized by butane tetra carboxylic acid (BTCA): A statistical prospect. *Fiber. Polym.* 11(2010), 967-975.
38. M. Montazer, S. Seifollahzadeh, Enhanced self-cleaning, antibacterial and uv protection properties of nano  $TiO_2$  treated textile through enzymatic pretreatment. *photochem. Photobiol.* 87(2011), 877-883.
39. Y. Kohno, T. Tanaka, T. Funabiki, S. Yoshida, Identification and reactivity of a surface intermediate in the photoreduction of  $CO_2$  with  $H_2$  over  $ZrO_2$ . *J. Chem. Soc. Faraday Trans.* 94(1998), 1875-1880.
40. C. Wu, X. Zhao, Y. Ren, Y. Yue, W. Hua, Y. Cao, Y. Tang, Z. Gao, Gas-phase photo-oxidations of organic compounds over different forms of zirconia. *Mol. Catal. A: Chemical.* 229(2005), 233-239.
41. K. R. Millington, Photoyellowing of wool. Part 1: Factors affecting photoyellowing and experimental techniques. *Color. Technol.* 122(2006), 169-186.
42. K. R. Millington, Photoyellowing of wool. Part 2: Photoyellowing mechanisms and methods of prevention. *Color. Technol.* 122(2006), 301-316.
43. K. Schiifer, D. Goddinger, H. Hocker, Photodegradation of tryptophan in wool. *J. S. D. C.* 113(1997), 350-355.
44. [44] K. R. Millington, Comparison of the effects of gamma and ultraviolet radiation on wool keratin. *J. S. D. C.* 116(2000), 266-272.
45. J. M. Dyer, S. D. Bringans, W. G. Bryson, Characterisation of photo-oxidation products within photoyellowed wool proteins: tryptophan and tyrosine derived chromophores, *Photochem. Photobiol. Sci.* 5(2006), 698-706.
46. C. Pouchert, Aldrich Chemical, Aldrich Chemical Co, (1985).
47. G. H. Schmid, Organic chemistry, Organic chemistry, McGraw Hill, St. Louis, 5(1996) 888.
48. V. R. Shembekar, Y. Chen, B. K. Carpenter, G. P. Hess, A protecting group for carboxylic acids that can be photolyzed by visible light. *Biochemistry-US.* 44(2005), 7107-7114.
49. N. Quici, M. E. Morgada, R. T. Gettar, M. Bolte, M. I. Litter, Photocatalytic degradation of citric acid under different conditions:  $TiO_2$  heterogeneous photocatalysis against homogeneous photolytic processes promoted by Fe(III) and  $H_2O_2$ . *Appl. Catal. B- Environmental.* 71(2007), 117-124.
50. M. Alvarez, T. López, J. A. Odriozola, M. A. Centeno, M. I. Domínguez, M. Montes, P. Quintana, D. H. Aguilar, R.D. González, 2,4-Dichlorophenoxyacetic acid (2,4-D) photodegradation using an  $Mn^{+}/ZrO_2$  photocatalyst: XPS, UV-vis, XRD characterization. *Appl. Catal. B-Environmental.* 73(2007), 34-41.
51. C. C. Chen, C. C. Wang, Crosslinking of cotton cellulose with succinic acid in the presence of titanium dioxide nano-catalyst under UV irradiation. *J. Sol-Gel Sci. Technol.* 40(2006), 31-38.
52. M. Montazer, E. Pakdel, M. B. Moghadam, The role of nano colloid of  $TiO_2$  and butane tetra carboxylic acid on the alkali solubility and hydrophilicity of proteinous fibers. *Colloid Surf. A: Phys. Eng. Asp.* 375(2011), 1-11.
53. C. C. Chen, C. C. Wang, Physical properties of the crosslinked cellulose catalyzed with nanotitanium dioxide under UV irradiation and electronic field. *Appl. Catal. A-General.* 293(2005), 171-179.
54. S. Biggs, P. J. Scales, Y. K. Leong, T. W. Healy, Effects of citrate adsorption on the interactions between zirconia surfaces. *J. Chem. Soc. Faraday Trans.* 91(1995), 2921-2928.
55. E. Pakdel, M. Montazer, Improving the Stability of Wool Fabric Against Ultraviolet Using Nano Titanium Dioxide and Butane Tetra Carboxylic Acid (BTCA). *J. Color Sci. Technol.* 3(2010), 233-241.
56. J. Vega-Baudrit, M. Sibaja-Ballesteros, P. Vazquez, R. Torregrosa-Macia, J. M. Martin-Martin'ez, Properties of thermoplastic polyurethane adhesives containing nanosilicas with different specific surface area and silanol content. *Int. J. Adhes. Adhes.* 27(2007), 469-479.
57. A. T. Balazsy, D. Eastop, Chemical principles of textile conservation, New York: John Wiley (1998).
58. H. F. Moafi, A. F. Shojaii, M. A. Zanjanchi, The comparison of photocatalytic activity of synthesized  $TiO_2$  and  $ZrO_2$  nanosize onto wool fibers. *Appl. Surf. Sci.* 256(2010), 4310-4316.
59. M. A. Mahmoud, A. Poncheri, Y. Badr, M.G. Abd El Wahed, Photocatalytic degradation of methyl red dye. *South Afr. J. Sci.* 105(2009), 299-303.
60. P. F. Fu, Z. Zhao, P. Peng, X. G. Dai, Photodegradation of methylene blue in a batch fixed bed photoreactor using activated carbon fibers supported  $TiO_2$  photocatalyst, *Chinese J. Process. Eng.* 8(2008), 65-71.
61. C. C. Ou, C. S. Yang, S. H. Lin, Selective photo-degradation of Rhodamine B over zirconia incorporated titania nanoparticles: A quantitative approach. *Catal. Sci. Technol.* 1(2011), 295-307.